

Научная статья

Осесимметричная задача фильтрации газа в пороупругой среде

Р.А. Вириц

Алтайский государственный университет, Барнаул, Российская Федерация

Основу модели составляют уравнения фильтрации жидкостей или газов в деформируемых пористых средах, являющиеся обобщением моделей пороупругих сред Маскета–Леверетта. Допущение малости скорости движения твердого скелета среды позволяет свести определяющую систему уравнений к двум уравнениям для нахождения эффективного давления и пористости. Под областью фильтрации газа подразумевается пласт горной породы, в котором на глубине расположен забой нагнетательной скважины; по бокам пласт ограничен непроницаемыми породами. Кровля пласта совпадает с земной поверхностью и является проницаемой. Миграция углекислого газа и его выход на поверхность происходят за счет увеличения пористости кровли пласта. На основе этих предположений поставлены краевые условия для скоростей газовой и твердой фаз, которые далее переписаны в терминах искомой функции эффективного давления среды. Полученная начально-краевая задача решается численно с использованием схемы переменных направлений и метода Рунге–Кутты 4-го порядка точности. Приводится разностная схема и алгоритм решения поставленной задачи. Определены порядки равномерной сходимости по пространственным и временной переменным и получена приближенная оценка скорости сходимости численного решения. Выполнено численное моделирование нескольких вариантов закачки углекислого газа в пласт на разных глубинах нахождения забоя скважины и с различными скоростями нагнетания. Выявлены оптимальные условия нагнетания газа для его хранения в геологической среде в долгосрочной перспективе.

Ключевые слова: пористость, пороупругость, фильтрация, углекислый газ, диоксид углерода, скважина, численное решение, нагнетание

Получение: 15.04.2024 / Публикация онлайн: 30.12.2024

УДК 532.5 + 517.95 + 519.63

1. Введение

Геологическое захоронение углерода представляет собой перспективный метод смягчения последствий изменения климата, поскольку позволяет безопасно и надежно удерживать большие объемы диоксида углерода (CO_2) под землей в течение длительных периодов времени. Этот процесс, называемый секвестрацией, предполагает: улавливание CO_2 из источников, например, теплоэлектростанций, промышленных предприятий; его транспортировку; закачку в геологические формации, такие как истощенные нефтегазовые месторождения или глубокие соленые водоносные горизонты. Исследования, связанные с захоронением углекислого газа, сосредоточены на понимании геологических процессов, происходящих при хранении CO_2 , оценке рисков и разработке стратегий мониторинга. Моделирование и анализ данных играют важную роль в предсказании поведения CO_2 в подземных формациях и обеспечении его безопасного и долгосрочного содержания. Эффективные технологии хранения и использования CO_2 имеют решающее значение для смягчения последствий изменения климата и перехода к устойчивой энергетической системе.

Проект по закачке CO_2 на месторождении Sleipner (Норвегия) [1] стал первым в мире промышленным проектом по улавливанию и хранению углекислого газа, в рамках которого с 1996 года закачано более 16 млн тонн CO_2 . Ключевыми выводами мониторинга на Sleipner стала двойная интерпретация сейсмических и гравиметрических (установленных количественно путем химического анализа) данных при оценке изменения массы свободного CO_2 и развития формы пласта во времени. Опыт, полученный на Sleipner, помог в разработке рекомендаций для мониторинга в будущих проектах по закачке CO_2 , показав, что выбор технологий мониторинга, а также продолжительность и объем исследований должны быть специфичными для каждого случая, основанными на рисках, учитывающих долгосрочный характер наблюдений. В связи с этим стала актуальной разработка и использование математических моделей, описывающих данный процесс.

Моделированию секвестрации (связывания с целью долгосрочного хранения в поглотителях) и фильтрации углекислого газа посвящена обширная литература. В работе [2] проведено сравнение решений одномерной и двумерной задач фильтрации с целью поиска оптимального водогазового воздействия на нефтяной пласт. В [3] рассмотрена задача закачки углекислого газа в водонасыщенный проницаемый пласт. Методами прямого численного моделирования определена граница области, занимаемой CO_2 в пласте при различных параметрах нагнетания. Проведено сравнение результатов расчётов по полной модели фильтрации с приближенным автомодельным решением задачи. В работе [4] представлен комплексный экспериментальный подход к

характеристике химического воздействия на многофазный поток CO_2 в водонасыщенных породах–коллекторах. Представлены надежные экспериментальные методы измерения относительной проницаемости и степени насыщения порового пространства. Статья [5] содержит всесторонний обзор химико-гидромеханического воздействия CO_2 на коллектор и покрывающие породы, как неповрежденные, так и трещиноватые, которое было изучено с помощью лабораторных экспериментов. Разработке эффективного подхода для облегчения вычислительной нагрузки, связанной с моделированием секвестрации CO_2 с использованием метода конечных разностей и шахматной сетки, посвящено исследование [6]; предложенный метод значительно снижает вычислительные требования к моделированию, что делает его более эффективным для крупномасштабных приложений. В [7] построены математические модели для двух сценариев закачки с разными скоростями, а также проанализированы изменения давлений, характерные для процесса распространения газа в пласте. В [8] рассматривается математическая модель процесса закачки углекислого газа в геологическое хранилище с переменной пористостью. Изучено влияние различных параметров закачки газа на эффективность хранения в пластах с низкой начальной пористостью. Численные расчеты позволили определить оптимальные условия закачки для долгосрочного содержания углекислого газа в геологической среде. В работе [9] представляется двумерная математическая модель явлений переноса углекислого газа в бетонных конструкциях. Для конкретного процесса карбонизации получено двумерное линейное уравнение в частных производных, основанное на принципе баланса масс и конвективно-дисперсионном уравнении. В статье [10] предлагается новый многомасштабный численный метод, с помощью которого проницаемость гидратсодержащих отложений в резервуаре размером в несколько сотен метров оценивается с использованием метода машинного обучения, базирующегося на результатах микроскопического моделирования в масштабе пор. Более подробный обзор математического моделирования хранения углекислого газа в геологических формациях и возникающих при этом проблем см. в [11].

Цель данной работы состоит в апробации модели, учитывающей изменение пористости среды в процессе закачки газа, в получении на ее основе данных о динамике реальных фильтрационных процессов и оценке сходимости численного решения, в выявлении оптимальных параметров закачки газа CO_2 для его безопасного и долгосрочного хранения в геологической среде при разных скоростях нагнетания и глубинах расположения его выхода в породу через забой скважины.

2. Постановка задачи

Математическая модель фильтрации жидкости или газа в поропругой среде основана на уравнениях сохранения масс для газовой и твердой фаз, законе Дарси, реологическом соотношении для пористой среды и уравнении баланса сил [12, 13]:

$$\frac{\partial(\phi\rho_f)}{\partial t} + \nabla \cdot (\phi \mathbf{v}_f \rho_f) = 0, \quad \frac{\partial(\rho_s(1-\phi))}{\partial t} + \nabla \cdot ((1-\phi)\mathbf{v}_s \rho_s) = 0, \quad (1)$$

$$\phi(\mathbf{v}_f - \mathbf{v}_s) = -\frac{K(\phi)}{\mu}(\nabla p_f - \rho_f \mathbf{g}), \quad p_f = p_{tot} - p_e, \quad (2)$$

$$\nabla \cdot \mathbf{v}_s = -a_1(\phi)p_e - a_2(\phi) \left(\frac{\partial p_e}{\partial t} + \mathbf{v}_s \cdot \nabla p_e \right), \quad (3)$$

$$\rho_{tot} \mathbf{g} + \nabla \cdot \left((1-\phi)\eta \left(\frac{\partial \mathbf{v}_s}{\partial \mathbf{x}} + \left(\frac{\partial \mathbf{v}_s}{\partial \mathbf{x}} \right)^T \right) \right) - \nabla p_{tot} = 0. \quad (4)$$

В уравнениях (1)–(4) приняты обозначения: t — время; $\mathbf{v}_f, \mathbf{v}_s, \rho_f, \rho_s$ — векторы скорости и плотности газовой и твердой фаз соответственно; ϕ — пористость; $\mathbf{g} = (0, 0, -g)$ — вектор силы тяжести; p_f, p_s — давления в газовой и твердой фазах; $p_e = p_{tot} - p_f$ — эффективное давление; $p_{tot} = \phi p_f + (1-\phi)p_s$ — общее давление; $\rho_{tot} = \phi \rho_f + (1-\phi)\rho_s$ — плотность двухфазной среды; $a_1(\phi), a_2(\phi)$ — характеристики пористого скелета, в частности, $a_1(\phi)$ — обратная объемная вязкость, $a_2(\phi)$ — коэффициент объемной сжимаемости (коэффициенты обратной объемной вязкости и объемной сжимаемости обычно определяются экспериментально и имеют вид: $a_1(\phi) = \phi^m/\eta$, $a_2(\phi) = \phi^l \beta_\phi$, где η — вязкость твердой фазы, β_ϕ — коэффициент сжимаемости пор, $l = 1/2, m = 2, n = 3$ [12]); $K(\phi) = k'\phi^n$ — коэффициент проницаемости, где k' — проницаемость пористой среды; $(\cdot)^T$ — операция транспонирования. В дальнейшем используется обозначение $k(\phi) = K(\phi)/\mu$, где μ — динамическая вязкость газа. Плотности газовой и твердой фаз считаются постоянными. Задача записана в эйлеровых координатах $(x, y, z, t) \in Q_T = \Omega \times (0, T)$, $\Omega \subset \mathbb{R}^3$, $t \in (0, T)$.

В отличие от подходов других авторов, в которых предполагается однородная пористость по пространству породного слоя, предложенная модель способна отображать различные сценарии течения, встречающиеся в реальных пористых средах. В модели учитывается возможность изменения пористости среды в процессе закачки газа, то есть более точно описывается динамика фильтрационных процессов и реальные условия, при которых пористость может зависеть от воздействия внешних факторов и параметров самого процесса закачки. Аналогичные системы уравнений ранее анализировались в исследованиях [14–25].

Преобразуем систему (1)–(4). Складывая уравнения (1), (2), имеем:

$$\nabla \cdot (\phi(\mathbf{v}_f - \mathbf{v}_s)) = -\nabla \cdot \mathbf{v}_s. \quad (5)$$

Используя закон Дарси (2) и реологическое соотношение (3), из (5) получаем:

$$\nabla \cdot (-k(\phi)(\nabla p_{tot} - \nabla p_e - \rho_f \mathbf{g})) = \nabla \cdot \mathbf{v}_s. \quad (6)$$

Закон сохранения массы для твердой фазы можно выразить следующим образом:

$$\frac{1}{1-\phi} \frac{d\phi}{dt} = \nabla \cdot \mathbf{v}_s. \quad (7)$$

Уравнения (6), (7) с учетом реологического соотношения (3) принимают вид:

$$\nabla \cdot (-k(\phi)(\nabla p_{tot} - \nabla p_e - \rho_f \mathbf{g})) = a_1(\phi)p_e + a_2(\phi) \frac{dp_e}{dt}, \quad (8)$$

$$\frac{1}{1-\phi} \frac{d\phi}{dt} = -a_1(\phi)p_e - a_2(\phi) \frac{dp_e}{dt}, \quad (9)$$

где $d(\cdot)/dt = \partial(\cdot)/\partial t + \mathbf{v}_s \cdot \nabla(\cdot)$. Предполагая, что твердая фаза неподвижна, можно пренебречь конвективными членами и получить: $d(\cdot)/dt \approx \partial(\cdot)/\partial t$ [9]. Обычно вязкость газа намного ниже вязкости твердого скелета, поэтому при практических расчетах дивергенция тензора напряжений в уравнении баланса сил (4) можно не принимать во внимание [13]. С учетом введенных выше предположений уравнения (8), (9) приводят к системе для нахождения эффективного давления и пористости:

$$\nabla \cdot (k(\phi)(\nabla p_e - \rho \mathbf{g})) = a_1(\phi)p_e + a_2(\phi) \frac{\partial p_e}{\partial t}, \quad (10)$$

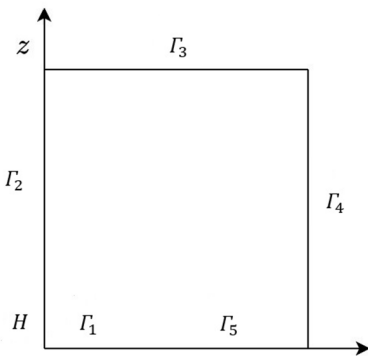
$$\frac{1}{1-\phi} \frac{\partial \phi}{\partial t} = -a_1(\phi)p_e - a_2(\phi) \frac{\partial p_e}{\partial t}, \quad (11)$$

где $\rho = (1-\phi)\Delta$, $\Delta = \rho_s - \rho_f$.

В дальнейшем будем рассматривать осесимметричный случай, поэтому достаточно провести моделирование фильтрации газа в области, в виде сектора с центральным углом $\pi/2$. В цилиндрических координатах (r, θ, z) уравнение (10) принимает вид:

$$\frac{1}{r} \frac{\partial}{\partial r} \left(r k(\phi) \frac{\partial p_e}{\partial r} \right) + \frac{\partial}{\partial z} \left(k(\phi) \left(\frac{\partial p_e}{\partial z} + \rho g \right) \right) = a_1(\phi)p_e + a_2(\phi) \frac{\partial p_e}{\partial t}. \quad (12)$$

Уравнение (11) остается без изменений.



Решим начально–краевую задачу, представляемую системой уравнений (11), (12). Фильтрация газа происходит в конечной области переменных (r, z) , граница которой состоит: из части Γ_1 , проницаемой для газа и соответствующей нагнетательной скважине; непроницаемых частей $\Gamma_2, \Gamma_4, \Gamma_5$; кровли Γ_3 . При этом $\Gamma_i = \partial\Omega$, $i = 1, \dots, 5$. Пусть $Q_T = \Omega \times (0, T)$. На глубине H м происходит закачка в пласт углекислого газа (CO_2) со скоростью $(v(t) \geq 0)$, ширина расчетной области закачки равна R м (Рис. 1).

Запишем граничные условия:

– на Γ_1 условия непротекания для твердой фазы и притока газа

$$(\mathbf{v}_s \cdot \mathbf{n}) = 0, \quad (\mathbf{v}_f \cdot \mathbf{n}) = -v(t), \quad v(0) = 0, \quad (r, z, t) \in S_1 = \Gamma_1 \times (0, T), \quad (13)$$

где \mathbf{n} — единичный вектор внешней нормали к Γ_i ;
 – на участках $\Gamma_i, i = 2, 4, 5$ условия непротекания для твердой фазы и газа

$$(\mathbf{v}_s \cdot \mathbf{n}) = 0, \quad (\mathbf{v}_f \cdot \mathbf{n}) = 0, \quad (r, z, t) \in S_i; \quad (14)$$

– на Γ_3 давления твердой фазы и газа (p_s, p_f) , совпадающие, соответственно, с литостатическим и гидростатическим [13]

$$p_s = p_a + \rho_s g(H - z), \quad p_f = p_a + \rho_f g(H - z), \quad (r, z, t) \in S_3, \quad (15)$$

где p_a — атмосферное давление.

В дополнение к граничным условиям необходимо задать начальное значение для эффективного давления и пористости среды:

$$t = 0: \quad p_e(r, z, 0) = p_e^0(r, z), \quad \phi(r, z, 0) = \phi^0(r, z).$$

Перепишем граничные условия (13)–(15) применительно к функции p_e . С использованием закона Дарси (2) и представления для p_e они приобретают вид:

$$\frac{k(\phi)}{\phi} (\nabla p_e - \rho \mathbf{g}) \cdot \mathbf{n} = -v(t), \quad (r, z, t) \in S_1, \quad (16)$$

$$(\nabla p_e - \rho \mathbf{g}) \cdot \mathbf{n} = 0, \quad (r, z, t) \in S_i, \quad i = 2, 4, 5, \quad (17)$$

$$p_e = 0, \quad (r, z, t) \in S_3. \quad (18)$$

Перейдем к безразмерным переменным:

$$r' = r/R, \quad z' = z/H, \quad t' = t/T, \quad p'_e = p_e/P, \quad v' = v/V,$$

где T — характерное время, масштабы давления и скорости примем равными $P = \Delta gH$ и $V = \Delta gk'/\mu$. Область изменения r', z', t' есть квадрат со стороной, равной единице. Таким образом, система уравнений (11), (12) с краевыми условиями (16)–(18) становится следующей (штрихи у безразмерных величин опущены):

$$\frac{\alpha}{r} \frac{\partial}{\partial r} \left(r \phi^n \frac{\partial p_e}{\partial r} \right) + \varepsilon \frac{\partial}{\partial z} \left(\phi^n \left(\frac{\partial p_e}{\partial z} + (1 - \phi) \right) \right) = \lambda \phi^m p_e + \omega \phi^l \frac{\partial p_e}{\partial t}, \quad (19)$$

$$\frac{1}{1 - \phi} \frac{\partial \phi}{\partial t} = -\lambda \phi^m p_e - \omega \phi^l \frac{\partial p_e}{\partial t}, \quad (20)$$

$$\phi^{n-1} \left(\frac{\partial p_e}{\partial z} + (1 - \phi) \right) = v(t), \quad (r, z, t) \in S_1, \quad (21)$$

$$\frac{\partial p_e}{\partial r} = 0, \quad (r, z, t) \in \{S_2, S_4\}, \quad \frac{\partial p_e}{\partial z} + (1 - \phi) = 0, \quad (r, z, t) \in S_5, \quad (22)$$

$$p_e = 0, \quad (r, z, t) \in S_3. \quad (23)$$

Входящие в (19), (20) безразмерные параметры имеют вид: $\alpha = k' PT / (\mu R^2)$, $\varepsilon = k' PT / (\mu H^2)$, $\lambda = TP / \eta$, $\omega = P \beta_\phi$.

Общий тензор напряжений $\boldsymbol{\sigma}$ определяется через тензоры напряжений твердой ($\boldsymbol{\sigma}_s$) и жидкой ($\boldsymbol{\sigma}_f$) фаз по правилу [26]:

$$\boldsymbol{\sigma} = (1 - \phi)(-p_s \mathbf{I}) - \phi p_f \mathbf{I} = -p_{tot} \mathbf{I},$$

где \mathbf{I} — единичный тензор. Уравнение баланса сил (4) с учетом принятых выше упрощений принимает вид:

$$\nabla p_{tot} = \rho_{tot} \mathbf{g}.$$

Последнее уравнение перепишем как $\partial p_{tot} / \partial r = 0$, $\partial p_{tot} / \partial z = -\rho_{tot} g$.

Задав краевое условие при $z = 0$ для уравнения, характеризующего общее давление в двухфазной среде как

$$p_{tot}(r, 0, t) = \phi p_f(r, 0, t) + (1 - \phi(r, 0, t)) p_s(r, 0, t)$$

и воспользовавшись (15), из представлений для эффективного и общего давлений можно найти давления в жидкой и твердой фазах:

$$p_f = p_{tot} - p_e, \quad p_s = \frac{p_{tot} - \phi p_f}{1 - \phi}.$$

3. Численный анализ

Начально–краевую задачу (19)–(23) решаем численно. В области $[0,1] \times [0,1] \times [0,1]$ строим равномерную сетку с шагами h_r, h_z по пространству и шагом τ по времени:

$$\begin{aligned} \tilde{\omega}_{h_r h_z \tau} &= \tilde{\omega}_{h_r} \times \tilde{\omega}_{h_z} \times \omega_\tau: \tilde{\omega}_{h_r} = \{r_i = ih_r, i = 0, 1, \dots, N_r, N_r h_r = 1\}, \\ \tilde{\omega}_{h_z} &= \{z_j = jh_z, j = 0, 1, \dots, N_z, N_z h_z = 1\}, \\ \tilde{\omega}_\tau &= \{t_k = k\tau, k = 0, 1, \dots, M, M\tau = 1\}. \end{aligned}$$

Численные решения в узлах сетки (r_i, z_j, t_k) обозначаются через $\varphi_{i,j}^k = \phi(r_i, z_j, t_k)$, $p_{i,j}^k = p_e(r_i, z_j, t_k)$.

При численной реализации уравнения (19) для нахождения эффективного давления применяется схема переменных направлений [27]:

$$a_{i,j}^k \frac{p_{i,j}^{k+1/2} - p_{i,j}^k}{\tau/2} = \Lambda_{rr} p_{i,j}^{k+1/2} + \Lambda_{zz} p_{i,j}^k + f_{i,j}^k, \quad (24)$$

$$a_{i,j}^k \frac{p_{i,j}^{k+1} - p_{i,j}^{k+1/2}}{\tau/2} = \Lambda_{rr} p_{i,j}^{k+1/2} + \Lambda_{zz} p_{i,j}^{k+1} + f_{i,j}^k, \quad (25)$$

где

$$\Lambda_{rr} p_{i,j}^{k+1/2} = \frac{1}{h_r} \left[\frac{b_{i+1/2,j}^k}{r_i} \frac{p_{i+1,j}^{k+1/2} - p_{i,j}^{k+1/2}}{h_r} - \frac{b_{i-1/2,j}^k}{r_i} \frac{p_{i,j}^{k+1/2} - p_{i-1,j}^{k+1/2}}{h_r} \right],$$

$$\Lambda_{zz} p_{i,j}^{k+1} = \frac{1}{h_z} \left[c_{i,j+1/2}^k \frac{p_{i,j+1}^{k+1} - p_{i,j}^{k+1}}{h_z} - c_{i,j-1/2}^k \frac{p_{i,j}^{k+1} - p_{i,j-1}^{k+1}}{h_z} \right],$$

$$a_{i,j}^k = \omega(\varphi_{i,j}^k)^l, \quad b_{i,j}^k = \alpha r_i (\varphi_{i,j}^k)^n, \quad c_{i,j}^k = \varepsilon (\varphi_{i,j}^k)^n,$$

$$d_{i,j}^k = \varepsilon (\varphi_{i,j}^k)^n (1 - \phi_{i,j}^k), \quad e_{i,j}^k = \lambda (\varphi_{i,j}^k)^m, \quad f_{i,j}^k = \frac{d_{i,j+1}^k - d_{i,j-1}^k}{2h_y} - e_{i,j}^k p_{i,j}^k,$$

$$b_{i+1/2,j}^k = \frac{2b_{i,j}^k b_{i+1,j}^k}{b_{i,j}^k + b_{i+1,j}^k}, \quad b_{i-1/2,j}^k = \frac{2b_{i,j}^k b_{i-1,j}^k}{b_{i,j}^k + b_{i-1,j}^k}, \quad c_{i,j+1/2}^k = \frac{2c_{i,j}^k c_{i,j+1}^k}{c_{i,j}^k + c_{i,j+1}^k}, \quad c_{i,j-1/2}^k = \frac{2c_{i,j}^k c_{i,j-1}^k}{c_{i,j}^k + c_{i,j-1}^k}.$$

Условия (21)–(23) становятся следующими:

$$(\varphi_{i,0}^k)^{n-1} \left(\frac{-3p_{i,0}^{k+1} + 4p_{i,1}^{k+1} - p_{i,2}^{k+1}}{2h_z} + (1 - \varphi_{i,0}^k) \right) = v, \quad (r_i, z_j, t_k) \in S_1,$$

$$\frac{-3p_{0,j}^{k+1/2} + 4p_{1,j}^{k+1/2} - p_{2,j}^{k+1/2}}{2h_r} = 0, \quad (r_i, z_j, t_k) \in S_2,$$

$$\frac{p_{N_r-2,j}^{k+1/2} - 4p_{N_r-1,j}^{k+1/2} + 3p_{N_r,j}^{k+1/2}}{2h_r} = 0, \quad (r_i, z_j, t_k) \in S_4,$$

$$\frac{-3p_{i,0}^{k+1} + 4p_{i,1}^{k+1} - p_{i,2}^{k+1}}{2h_z} + (1 - \varphi_{i,0}^k) = 0, \quad (r_i, z_j, t_k) \in S_5,$$

$$p_{i,N_y}^{k+1} = 0, \quad (r_i, z_j, t_k) \in S_3,$$

где производные первого порядка аппроксимируются с помощью трехточечной первой разностной производной и обеспечивают 2-й порядок точности решения.

Для нахождения пористости из уравнения (20) применяется метод Рунге–Кутты 4-го порядка [28]:

$$\frac{\varphi_{i,j}^{k+1} - \varphi_{i,j}^k}{\tau} = \frac{1}{6}(k_1 + 2k_2 + 2k_3 + k_4), \tag{26}$$

$$k_1 = (1 - \phi_{i,j}^k) \left(-\lambda(\varphi_{i,j}^k)^m p_{i,j}^k - \omega(\varphi_{i,j}^k)^l \frac{p_{i,j}^{k+1} - p_{i,j}^k}{\tau} \right) \equiv F(\varphi_{i,j}^k, p_{i,j}^k),$$

$$k_2 = F(\varphi_{i,j}^k + \tau k_1/2, p_{i,j}^k), \quad k_3 = F(\varphi_{i,j}^k + \tau k_2/2, p_{i,j}^k), \quad k_4 = F(\varphi_{i,j}^k + \tau k_3, p_{i,j}^k).$$

Вычислительный алгоритм включает шаги:

1. Инициализация — на временном слое $k = 0$ присваиваются начальные значения пористости и эффективному давлению $p_{i,j}^0, \varphi_{i,j}^0$.
2. Расчет давления — для каждого временного слоя $k > 0$ производится прогонка:
 - а) по строкам (по направлению r), используются уравнения (24), для вычисления $p_{i,j}^{k+1/2}$ при фиксированном $p_{i,j}^k$;
 - б) по столбцам (по направлению z) согласно уравнению (25) для вычисления $p_{i,j}^{k+1}$ при фиксированном $p_{i,j}^{k+1/2}$.
3. Расчет пористости — для каждого временного слоя $k > 0$ находится пористость $\varphi_{i,j}^{k+1}$ из уравнения (26) по рассчитанному давлению $p_{i,j}^{k+1}$.
4. Повторение — на каждом временном слое $k > 0$ (M раз) выполняются шаги расчета давления и пористости.

Установим порядки равномерной сходимости численного решения задачи (19)–(23) по пространственным и временной переменным. Для дальнейших рассуждений возьмем за основу результаты работы [29]. Зафиксируем параметры: скорость нагнетания газа $v = 0.5$; характерное время $T = 1$ сут; глубину расположения источника закачки (забоя нагнетательной скважины) $H = 50$ м.

Порядки равномерной сходимости численных решений по пространственным переменным r и z отыщем на основе эволюции пористости. При фиксированном шаге по времени τ определим следующие величины:

$$S_q = \max_k \max_j \max_i \left| \varphi_{i,j}^{q+1}(t_k) - \varphi_{i,j}^q(t_k) \right|,$$

$$i = 0, 1, \dots, N2^q, \quad j = 0, 1, \dots, N2^q, \quad k = 0, \dots, M \quad (q = 0, 1, 2, 3),$$

где $M = 1/\tau$, $N_r = N_z = N$, $N = 50$. Значение S_q вычислим как максимум разности приближенных решений, полученных на двух последовательных вложенных пространственных сетках. Предположим, что для S_q справедлива оценка:

$$S_q = M_1 \left(\frac{1}{N2^q} \right)^x + M_2 \tau^\beta, \tag{27}$$

где M_1 и M_2 — точные константы, то есть их значения не зависят от q . Как вытекает из (27), для разности $W_q = S_q - S_{q+1}$ верно выражение:

$$W_q = M_1 \left(\frac{1}{N2^q} \right)^x \left(\frac{1}{2^x} \right), \tag{28}$$

следовательно,

$$W_q/W_{q+1} = 2^x.$$

Из последнего соотношения вытекает, что порядок скорости сходимости χ для соответствующего значения q определяется формулой (см. Табл. 1):

$$\chi(q) = \log_2(W_q/W_{q+1}) \quad (q = 0, 1, 2, 3).$$

Минимизируя найденные значения $\chi(q)$, можно оценить порядок скорости сходимости метода. Использование соотношения (28) позволяет установить значение постоянной M_1 . Таким образом, из проведенного вычислительного эксперимента в первом слагаемом приближенного решения

$$\left| \phi(r_i, z_j, t_k) - \varphi_{ij}^k \right| \leq M_1 N^{-x} + M_2 \tau^\beta \tag{29}$$

значения постоянных χ и M_1 получаются следующими: $\chi \approx 1.311$, $M_1 \approx 2.05$.

По аналогии с χ и M_1 можно найти значения постоянных M_2 и β . Для этого фиксируем параметры пространственной сетки и рассматриваем последовательность вложенных временных сеток. Тогда имеем

минимальное значение $\beta \approx 1.443$ (Табл. 2) и соответствующую константу $M_2 \approx 1.17$. Итак, расчетным путем определены все постоянные равномерной сходимости, входящие в оценку (27). С учетом этого приближенное решение (29) принимает вид:

$$|\phi(r_i, z_j, t_k) - \phi_{ij}^k| \leq 2.05h^{1.311} + 1.17\tau^{1.443}.$$

Таблица 1. Порядок равномерной сходимости по пространственным переменным

q	0	1	2	3
χ	1.311	1.312	1.313	1.313

Таблица 2. Порядок равномерной сходимости по временной переменной

q	0	1	2	3
β	1.443	1.556	1.600	1.601

Для проверки корректности реализации численного алгоритма уравнение (19) решено с помощью двух разностных схем: явной схемы с ограничением на шаг по времени и схемы со стабилизирующей поправкой [30]. Разница между полученными результатами для пористости и давления в нескольких контрольных точках на момент окончания процесса закачки и через месяц после остановки служила критерием адекватности алгоритма.

Рассмотрены две контрольные точки области фильтрации: точка 1 возле забоя скважины в момент окончания закачки; точка 2 вблизи кровли через месяц после окончания закачки. Вычисленная пористость в точке 1 составила: $\phi_1 = 0.125$ при расчете давления по явной схеме; $\phi_1 = 0.124$ при расчете давления по схеме со стабилизирующей поправкой. Рассчитанное в контрольной точке 2 давление равнялось: $p_2 = 0.154014$ МПа (при явной схеме); $p_2 = 0.1550273$ МПа (при схеме со стабилизирующей поправкой). Сравнение результатов расчетов с использованием двух разностных схем показывает незначительное расхождение в значениях вычисленных параметров. В частности, максимальная разница по пористости составляет 0.001 вблизи скважины на момент окончания закачки, а максимальное отличие по давлению — 0.00101325 МПа через месяц после остановки закачки. Эти расхождения свидетельствуют об устойчивости и точности выбранного расчетного алгоритма.

4. Обзор результатов

Рассмотрено три варианта нагнетания углекислого газа в пласт горной породы через скважину с забоем, находящимся на глубине H м. Как правило, для закачки газа используются скважины отработанных газовых или нефтяных месторождений. В данной работе диаметр скважины равен $D = 168$ мм [31]; для простоты принято, что забой скважины расположен в центре нижней границы области фильтрации (Рис. 1). Параметры нагнетания углекислого газа представлены в таблице 3. Там же, для детальной картины процесса приведены сведения о расходах газа при закачке. Объемный и массовый расходы газа находятся по формулам $Q = \pi D^2 v / 4$ и $Q_m = Q \rho_f$ соответственно. Физические свойства газа и пористой среды приняты следующими: $\eta = 10^{18}$ Па·с, $\beta_\phi = 10^{-8}$ Па $^{-1}$, $k' = 10^{-13}$ м 2 , $\mu = 1463 \cdot 10^{-8}$ Па·с, $g = 9.8$ м/с 2 , $\rho_s = 2.6 \cdot 10^3$ кг/м 3 , $\rho_f = 800$ кг/м 3 . Прочность некоторых горных пород на сжатие и растяжение представлена в таблице 4 [32].

Таблица 3. Параметры нагнетания CO $_2$

Свойство, обозначение, размерность	Вариант нагнетания		
	A	B	C
Начальная пористость ϕ^0	0.025	0.025	0.025
Безразмерная скорость нагнетания v	1	0.3	0.1
Глубина забоя скважины в пласте H , м	50	300	800
Длительность закачки газа T , сут	7	7	7
Расход газа Q , м 3 /с	$1.133 \cdot 10^{-5}$	$3.398 \cdot 10^{-6}$	$1.132 \cdot 10^{-6}$
Массовый расход Q_m , кг/с	0.0086	0.0026	$8.632 \cdot 10^{-4}$
Общая масса закачанного за время t газа Q_t , кг	5201.28	1572.48	522.10
Максимальное значение тензора напряжений в пласте в зоне забоя скважины $ \sigma _{\max}$, МПа	1.41855	7.90335	21.0756

Закачка во всех вариантах продолжалась в течение $T = 7$ сут. Распределения пористости среды и давления газа на момент остановки закачки при параметрах нагнетания A представлены на рисунке 2. Пористость породы

Таблица 4. Прочность горных пород CO₂

Порода	Предел прочности	
	на сжатие σ_c , Па	на растяжение σ_s , Па
Гранит	1391.56	108.562
Порфирит	2210.71	177.646
Известняк	276.339	29.6
Песчаник	1618.55	69.0846

вблизи скважины подвергается наибольшему изменению. Это связано с тем, что газ, закачиваемый в скважину, создает вблизи забоя более высокое давление, чем в остальной части породы. Высокое давление приводит к значительному расширению пор в этой области и, следовательно, к увеличению пористости. Давление газа у забоя скважины составляет около 10.1325 МПа. В слоях породы, находящихся выше забойной зоны возрастания пористости не наблюдается.

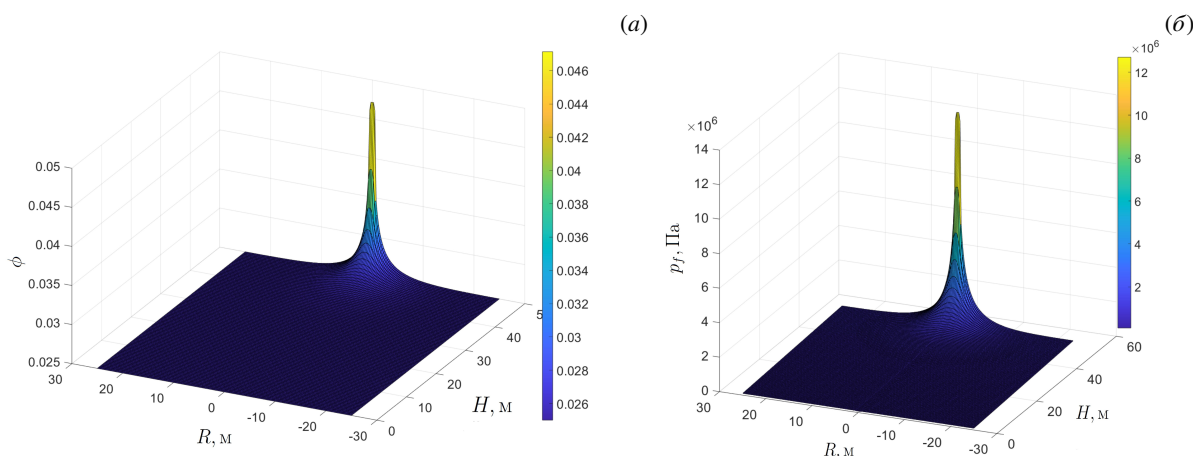


Рис. 2. Вариант А: распределения пористости (а) и давления газа (б) на момент остановки закачки (через 7 сут)

На следующие, 8-е сутки после остановки закачки газа, пористость и давление представлено на рисунке 3. Пористость и давление у скважины постепенно уменьшаются, но в более верхних слоях породы, наоборот, увеличиваются. Уменьшение пористости и давления зоне забоя скважины связано с остановкой закачки газа и, соответственно, с уменьшением его давления в области нагнетания. Давление газа у скважины на 8-е сут в 10 раз меньше, чем на момент остановки закачки.

Разница в давлении между областью нагнетания и кровлей пласта создает градиент давления, который приводит к миграции газа вверх по пласту. Это подтверждается увеличением пористости и давления вблизи кровли пласта спустя месяц после прекращения закачки (Рис. 4). Если давление газа в зоне кровли пласта превышает атмосферное давление, газ может выходить на поверхность через естественные трещины или перфорационные отверстия в обсадной колонне. В данном случае вблизи кровли пласта давление составляет около 0.151987 МПа, то есть не равно атмосферному. Таким образом наблюдаемые изменения пористости и давления указывают на миграцию CO₂ в направлении кровли пласта и его возможный выход на поверхность. Максимальное значение тензора напряжений в зоне забоя в этом случае равно $|\sigma|_{\max} = 1.41855$ МПа.

При параметрах нагнетания варианта В пористость среды представлена после остановки закачки газа на следующие, 8-е сут (Рис. 5) и спустя год (Рис. 6). Спустя год на верхней кровле пласта пористость не равна начальному значению и газ достигнет поверхности. Максимальное значение тензора напряжений в этом случае равно $|\sigma|_{\max} = 7.90335$ МПа.

При параметрах нагнетания С пористость среды на момент остановки закачки газа и на следующие сутки представлена на рисунке 7, через полгода и год — на рисунке 8. Результаты расчетов для пористости спустя 180 дней и год не отличаются друг от друга. Данные показывают, что пористость в зоне забоя скважины уменьшается с увеличением времени после остановки закачки газа и достигает стационарного значения через 180 дней.

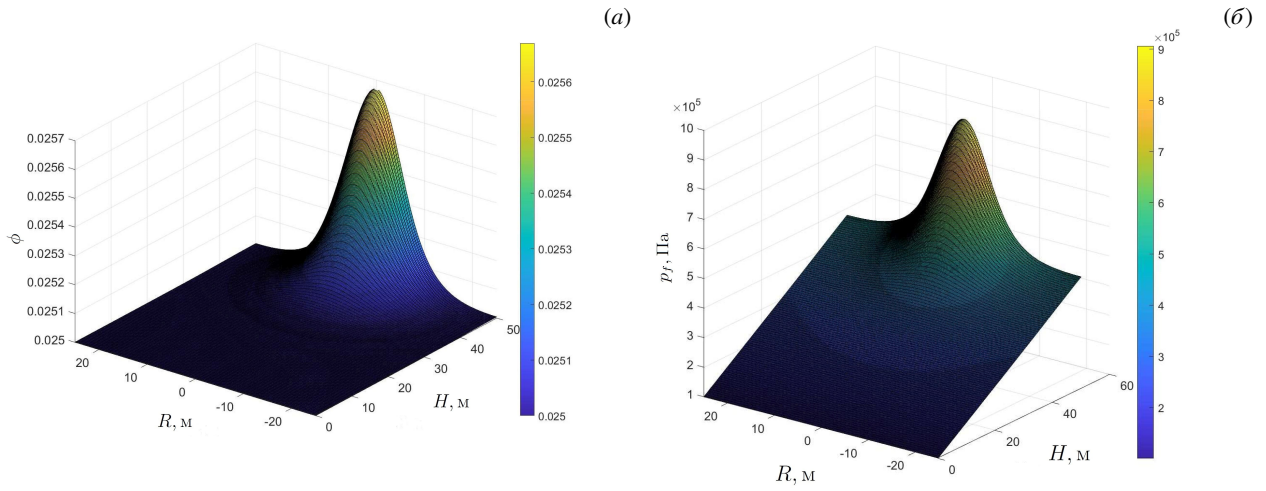


Рис. 3. Вариант А: пористость (а) и давление газа (б) на момент времени 8 сут

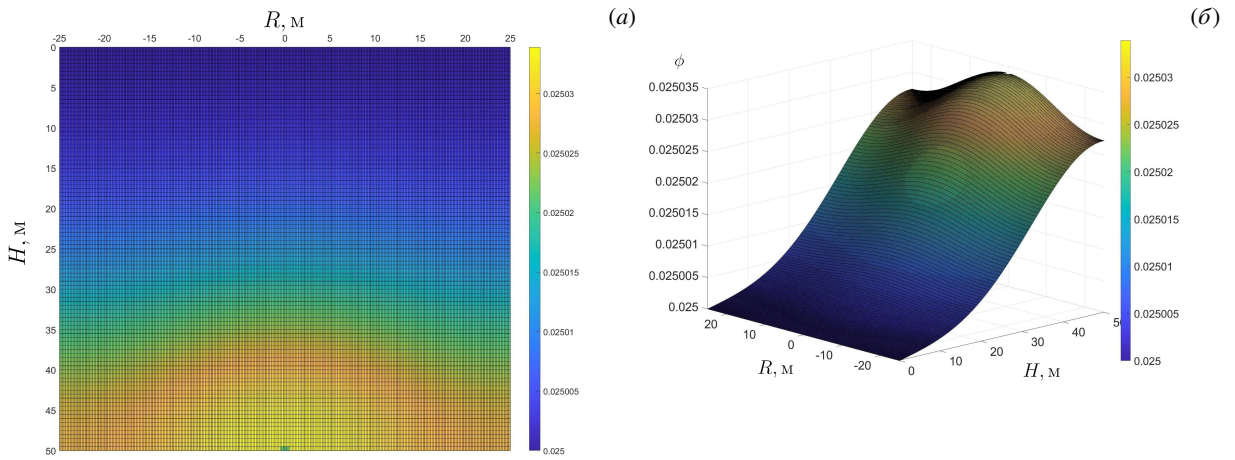


Рис. 4. Вариант нагнетания А: пористость спустя 30 сут

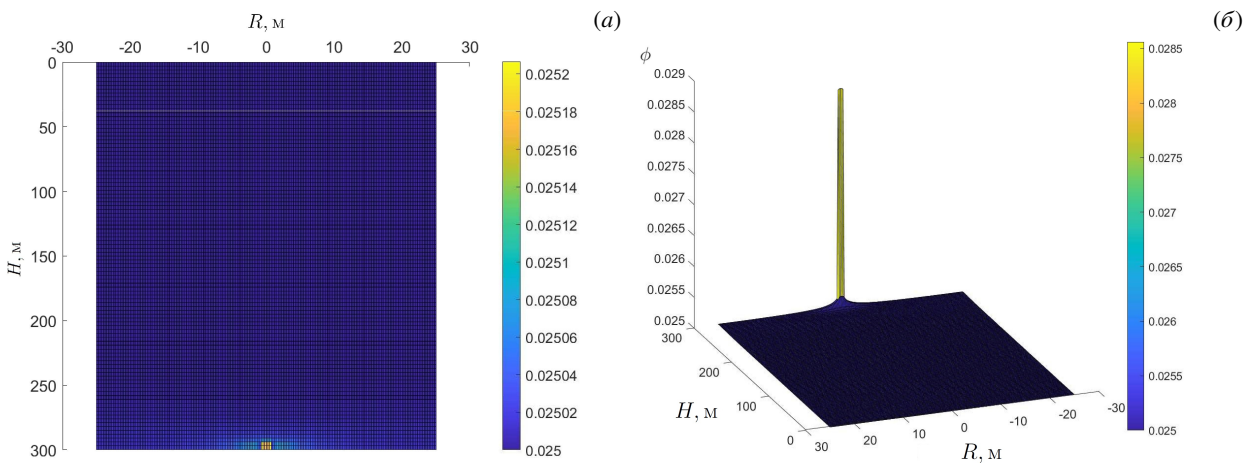


Рис. 5. Вариант нагнетания В: пористость на момент остановки закачки (через 7 сут)

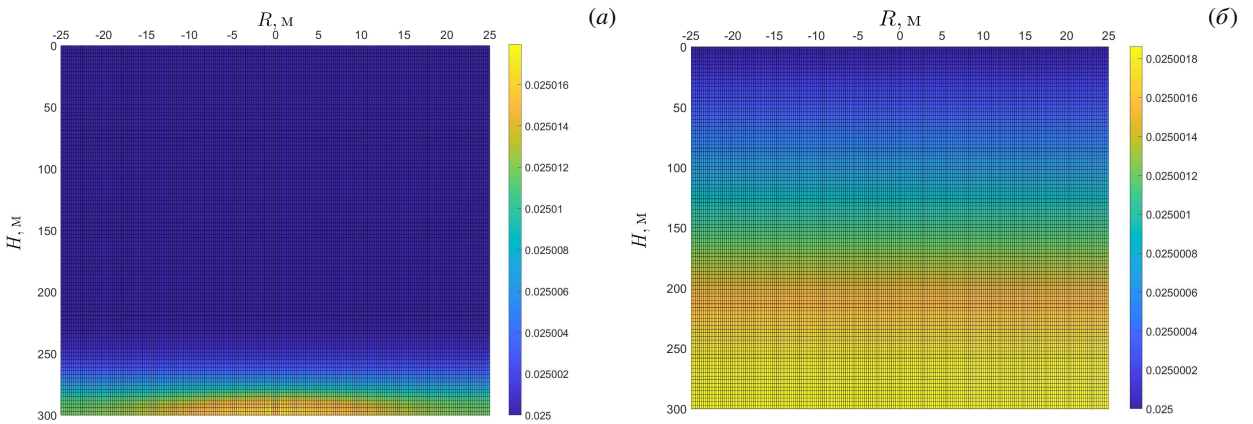


Рис. 6. Вариант нагнетания *B*: пористость на 8-е сут (а) и спустя 1 год (б) после остановки закачки

Максимальное значение тензора напряжений, равное 21.0756 МПа, указывает на потенциальный риск разрушения горной породы (Табл. 4), что может привести к быстрому подъему газа к верхней границе пласта. Однако при отсутствии разрушения породы сценарий *C* закачки газа является оптимальным для долгосрочной утилизации и хранения CO_2 в геологическом образовании.

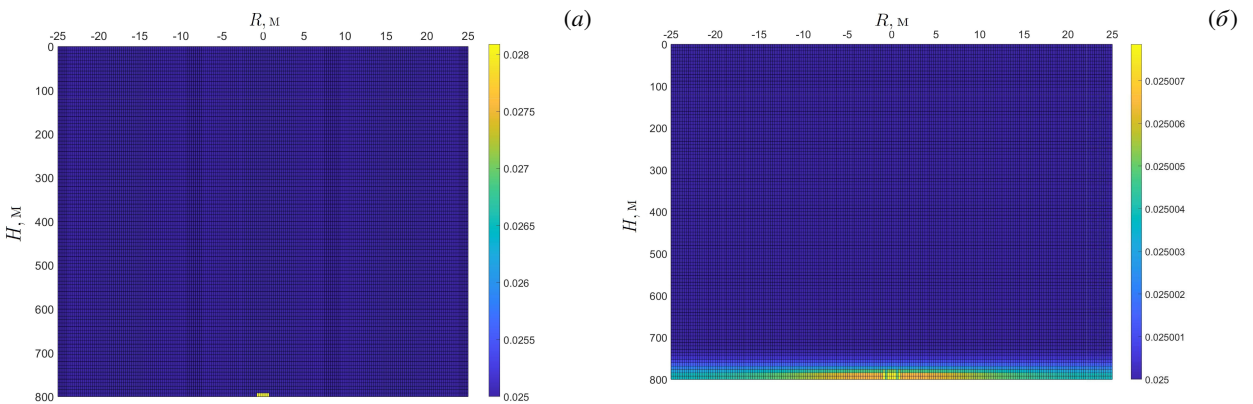


Рис. 7. Вариант нагнетания *C*: распределения пористости на момент остановки закачки (а) и на следующие, 8-е сут после остановки (б)

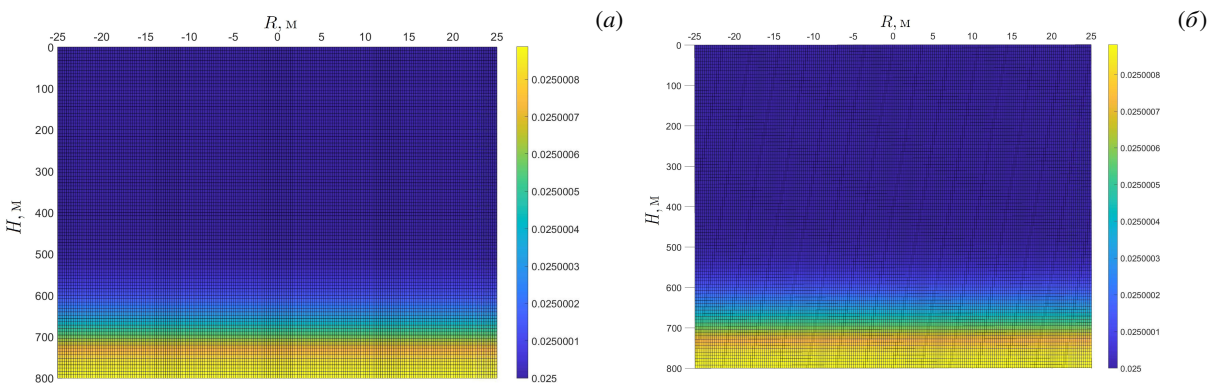


Рис. 8. Вариант нагнетания *C*: пористость спустя 180 дней (а) и спустя 1 год (б) после остановки закачки

В работе определены интегральные значения характеристик, таких как пористость, скорость и время нагнетания, давление газа, общая масса закачанного газа, которые могут привести к разрушению среды при различных сценариях закачки. Прочность горных пород оценивалась согласно критериям из таблицы 4. Установлены критические значения параметров, при которых возможно разрушение среды в области фильтрации при разных вариантах нагнетания. Для варианта нагнетания *A* критическими являются: пористость 0.035, максимальное значение тензора напряжений 3.34373 МПа, скорость нагнетания $1.5 \cdot 10^{-5}$ м³/с. При этих условиях масса закачанного газа составляет 120000 кг. Для достижения этих критических величин закачка будет длиться примерно 115.7 дней. При варианте нагнетания *B* критическая пористость увеличивается до 0.04, значение тензора напряжений возрастает до 8.106 МПа, а скорость нагнетания снижается до $4.5 \cdot 10^{-6}$ м³/с. При этом критическая масса закачанного газа равняется 80000 кг, а для закачки требуется 257.1 дней. Вариант *C* характеризуется критическими величинами: пористости 0.045, максимального значения тензора напряжений 21.2782 МПа, скорости нагнетания $2.0 \cdot 10^{-6}$ м³/с, массы закачанного газа 30000 кг, длительности закачки до достижения этих значений 217 дней.

5. Заключение

В представленной работе рассмотрена задача захоронения углекислого газа (CO₂) в пороупругой среде в осесимметричной постановке. Обсуждаемая проблема является актуальной в контексте смягчения последствий изменения климата, поскольку захоронение CO₂ в геологических формациях считается одним из перспективных методов сокращения выбросов парниковых газов в атмосферу. В рамках исследования сформулирована математическая постановка задачи и разработан численный алгоритм для моделирования процесса закачки CO₂ в вязкоупругую породу. Алгоритм включает решение системы дифференциальных уравнений в частных производных, описывающих фильтрацию газа в пороупругой среде. Выполнена оценка скорости сходимости применяемого численного подхода.

Проведено численное моделирование процесса закачки CO₂ для трех сценариев, учитывающих варьирование скорости нагнетания газа и глубины расположения его выхода в породу через забой скважины. Результаты вычислительных экспериментов позволили определить оптимальные параметры закачки газа CO₂ для его безопасного и долгосрочного хранения в геологической среде. Полученные результаты имеют важное значение для развития технологий геологического захоронения CO₂. Они могут быть использованы при проектировании и оптимизации систем закачки углекислого газа, для оценки рисков и разработки мер по предотвращению утечек CO₂ из геологической формации.

Исследование выполнено за счет гранта Российского научного фонда № 23-71-10045, <https://rscf.ru/project/23-71-10045/>

Литература

1. Furre A.-K., Eiken O., Alnes H., Vevatne J.N., Kjør A.F. 20 Years of Monitoring CO₂-injection at Sleipner // *Energy Procedia*. 2017. Vol. 114. P. 3916–3926. DOI: 10.1016/j.egypro.2017.03.1523
2. Андреева А.И., Афанасьев А.А. Сравнение оптимальных режимов водогазового воздействия в рамках одномерной и двумерной постановок задачи фильтрации // *Вычислительная механика сплошных сред*. 2022. Т. 15, № 3. С. 253–262. DOI: 10.7242/1999-6691/2022.15.3.19
3. Афанасьев А.А., Мельник О.Э., Цветкова Ю.Д. Моделирование фильтрации при подземном захоронении углекислого газа с применением высокопроизводительных вычислительных систем // *Вычислительная механика сплошных сред*. 2013. Т. 6, № 4. С. 420–429. DOI: 10.7242/1999-6691/2013.6.4.46
4. Kim K., Kundzicz P.M., Makhnenko R.Y. Effect of CO₂ Injection on the Multiphase Flow Properties of Reservoir Rock // *Transport in Porous Media*. 2023. Vol. 147, no. 2. P. 429–461. DOI: 10.1007/s11242-023-01916-6
5. Vafai A., Cama J., Soler J.M., Kivi I.R., Vilarrasa V. Chemo-hydro-mechanical effects of CO₂ injection on reservoir and seal rocks: A review on laboratory experiments // *Renewable and Sustainable Energy Reviews*. 2023. Vol. 178. 113270. DOI: 10.1016/j.rser.2023.113270
6. Anthony E., Vedanti N. 2D parallel simulation of seismic wave propagation in poroelastic media to monitor a CO₂ geological sequestration process // *Journal of African Earth Sciences*. 2024. 105194. DOI: 10.1016/j.jafrearsci.2024.105194
7. Urych T., Checko J., Magdziarczyk M., Smoliński A. Numerical Simulations of Carbon Dioxide Storage in Selected Geological Structures in North-Western Poland // *Frontiers in Energy Research*. 2022. Vol. 10. 827794. DOI: 10.3389/fenrg.2022.827794

8. Вирц Р.А., Папин А.А. Моделирование захоронения углекислого газа в вязкоупругой пористой среде // Вычислительные технологии. 2022. Т. 27, № 6. С. 4–18. DOI: 10.25743/ICT.2022.27.6.002
9. Hidayat M.N., Kusuma J., Aris N. A Two-Dimensional Mathematical Model of Carbon Dioxide (CO₂) Transport in Concrete Carbonation Processes // Jurnal Matematika, Statistika dan Komputasi. 2021. Vol. 17, no. 3. P. 405–417. DOI: 10.20956/j.v17i3.12227
10. Junji Yamaguchi A., Sato T., Tobase T., Wei X., Huang L., Zhang J., Bian J., Liu T.-Y. Multiscale numerical simulation of CO₂ hydrate storage using machine learning // Fuel. 2023. Vol. 334. 126678. DOI: 10.1016/j.fuel.2022.126678
11. Вирц Р.А., Папин А.А. Проблемы математического моделирования хранения углекислого газа в геологических формациях. Барнаул: Алтайский государственный университет, 2021. 70 с.
12. Connolly J.A.D., Podladchikov Y.Y. Compaction-driven fluid flow in viscoelastic rock // Geodinamica Acta. 1998. Vol. 11, no. 2/3. P. 55–84. DOI: 10.1080/09853111.1998.11105311
13. Mareschal J.-C. Mathematical Geoscience. Springer-Verlag London Limited, 2011. 883 p.
14. El-Amin M.F., Sun S., Salama A. Modeling and Simulation of Nanoparticle Transport in Multiphase Flows in Porous Media: CO₂ Sequestration // SPE, 2012. P. 1–10. DOI: 10.2118/163089-MS
15. Bear J. Dynamics of Fluids in Porous Media. New York: American Elsevier Publishing Company, 1972. 764 p.
16. Morency C., Huismans R.S., Beaumont C., Fulsack P. A numerical model for coupled fluid flow and matrix deformation with applications to disequilibrium compaction and delta stability // Journal of Geophysical Research: Solid Earth. 2007. Vol. 112. B10. DOI: 10.1029/2006JB004701
17. Нугматулин Р.И. Динамика многофазных сред. Т. 1. М.: Наука, 1987. 463 с.
18. Khasanov M.K., Rafikova G.R., Musakaev N.G. Mathematical Model of Carbon Dioxide Injection into a Porous Reservoir Saturated with Methane and Its Gas Hydrate // Energies. 2020. Vol. 13, no. 2. 440. DOI: 10.3390/en13020440
19. Virts R.A., Papin A.A., Tokareva M.A. Non-isothermal filtration of a viscous compressible fluid in a viscoelastic porous medium // Journal of Physics: Conference Series. 2020. Vol. 1666, no. 1. 012041. DOI: 10.1088/1742-6596/1666/1/012041
20. Papin A.A., Tokareva M.A., Virts R.A. Filtration of Liquid in a Non-isothermal Viscous Porous Medium // Journal of Siberian Federal University. Mathematics & Physics. 2020. Vol. 13, no. 6. P. 763–773. DOI: 10.17516/1997-1397-2020-13-6-763-773
21. Вирц Р.А., Папин А.А., Вайгант В.А. Численное решение одномерной задачи фильтрации несжимаемой жидкости в вязкой пористой среде // Известия Алтайского государственного университета. 2018. № 4. С. 62–67. DOI: 10.14258/izvasu(2018)4-11
22. Сибин А.Н., Сибин Н.Н. Численное решение одномерной задачи фильтрации с учетом суффозионных процессов // Известия Алтайского государственного университета. 2017. № 1. С. 123–126. DOI: 10.14258/izvasu(2017)1-24
23. Tokareva M.A. Solvability of initial boundary value problem for the equations of filtration in poroelastic media // Journal of Physics: Conference Series. 2016. Vol. 722, no. 1. 012037. DOI: 10.1088/1742-6596/722/1/012037
24. Tokareva M.A., Papin A.A. Global Solvability of a System of Equations of One-Dimensional Motion of a Viscous Fluid in a Deformable Viscous Porous Medium // Journal of Applied and Industrial Mathematics. 2019. Vol. 13. P. 350–362. DOI: 10.1134/S1990478919020169
25. Papin A.A., Tokareva M.A. On Local Solvability of the System of the Equations of One Dimensional Motion of Magma // Journal of Siberian Federal University. Mathematics & Physics. 2017. Vol. 10, no. 3. P. 385–395. DOI: 10.17516/1997-1397-2017-10-3-385-395
26. Terzaghi K. Theoretical soil mechanics. Wiley, 1943. 528 p. DOI: 10.1002/9780470172766.fmatter
27. Самарский А.А. Теория разностных схем. М.: Наука, 1977. 656 с.
28. Калиткин Н.Н. Численные методы. М.: Наука, 1986. 512 с.
29. Перишин И.В., Титов В.А., Шишкин Г.И. Экспериментальное определение порядка равномерной сходимости специальных разностных схем // Математическое моделирование. 1995. Т. 7, № 6. С. 85–94.
30. Хакимзянов Г.С., Черный С.Г. Методы вычислений. Ч. 3. Численные методы решения задач для уравнений параболического и эллиптического типов. Новосибирск: Новосиб. гос. ун-т, 2007. 160 с.
31. Петрушин Е.О., Арутюнян А.С. Техническая характеристика скважин и оборудования для проведения гидродинамических исследований // Наука. Техника. Технологии (политехнический вестник). 2015. № 2. С. 73–83.
32. Шамшев Ф.А. Технология и техника разведочного бурения. М.: Недра, 1973. 494 с.

Сведения об авторах:

Вириц Рудольф Александрович (корр.), б/с, мнс., Алтайский государственный университет (АлтГУ), 656049, г. Барнаул, пр-т. Ленина, д. 61; e-mail: virtsrudolf@gmail.com; ORCID: 0000-0002-6689-6757